

Оригинальные работы

УДК 579.254.2

Н.А. МАТВЕЕВА, А.М. ШАХОВСКИЙ, Н.В. КУЧУК

Институт клеточной биологии и генетической инженерии
НАН Украины, Киев

ГЕНЕТИЧЕСКАЯ ТРАНСФОРМАЦИЯ ХЛОРОПЛАСТНОЙ ДНК *SOLANUM RICKII*



*С помощью метода биолистической трансформации при использовании векторной конструкции, содержащей ген *aadA* (устойчивость к стрептомицину и спектиномицину), получены транспластомные растения *Solanum rickii*. Использование селективного давления сразу же после бомбардирования микрочастицами и одновременное введение двух антибиотиков — стрептомицина и спектиномицина в достаточной концентрации позволило провести успешную селекцию и избежать получения спонтанных мутантов. Трансформированные растения были зелеными, по морфологии не отличались от растений исходного дикого типа, нормально росли при длительном (более 2 лет) культивировании на среде с антибиотиками.*

© Н.А. МАТВЕЕВА, А.М. ШАХОВСКИЙ,
Н.В. КУЧУК, 2005

ISSN 0564–3783. Цитология и генетика. 2005. № 5

Введение. Трансформация хлоропластной ДНК — одно из приоритетных направлений в современной генетической инженерии растений. По сравнению с ядерной трансформацией она имеет ряд несомненных преимуществ, обусловленных особенностями развития растений. Так, материнское наследование цитоплазматических генов у большинства сельскохозяйственных культур затрудняет перенос с пыльцой чужеродных генов, чем способствует экологической безопасности и предотвращает возникновение трансгенных сорных культур. Поскольку копийность хлоропластной ДНК в клетках растений намного превышает копийность ядерной ДНК [1], появляется реальная возможность существенно повысить выход белкового продукта. Полицистронный тип экспрессии при трансформации хлоропластов позволяет вводить в растительную клетку несколько генов одновременно. Осуществление хлоропластной трансформации по способу гомологичной рекомбинации и строгая специфичность по месту встраивания переносимого гена дает возможность избежать так называемого неконтролируемого эффекта положения или «молчания» перенесенных генов, что происходит при ядерной трансформации.

Разработка и успешное внедрение метода биолистической трансформации, суть которого заключается в обстреливании растительных клеток микрочастицами вольфрама или золота с нанесенными на них молекулами ДНК [2–4], вначале позволили достичь значительных успехов в трансформации ядерного генома растений. Таким образом были получены трансгенные растения табака, риса, кукурузы, сои и многих других видов. Однако получение транспластомных растений в отличие от ядерных трансформантов все еще остается достаточно сложной задачей. На сегодняшний день имеется лишь несколько сообщений о получении растений с трансформированными пластидами *Nicotiana tabacum* [5], *Arabidopsis thaliana* [6], *Solanum tuberosum* [7], *Lycopersicon esculentum* [8], *Lesquerella fendleri* [9], *Petunia hybrida* [10]. Во всех этих работах был использован метод биолистической трансформации, что может свидетельствовать о его успешном применении для внедрения чужеродной ДНК в хлоропласти.

Мы приводим результаты успешной трансформации хлоропластов еще одного представителя семейства пасленовых — *Solanum rickii*.

Материал и методы. Растительный материал. Материалом для исследований служили растения *S. rickii*, выращенные асептически на среде MS [11] в культуральной комнате при температуре 22–24 °C и световом дне 16 ч.

Получение каллусных тканей и регенерация растений. Инициацию каллусообразования из сегментов междуузлий размером 10 мм и листовых пластинок проводили на среде MS с добавлением 2 мг/л 2,4-дихлорфеноксикусной кислоты (2,4-Д), 0,5 мг/л кинетина на протяжении 4–14 сут. Регенерацию растений из полученных каллусных тканей индуцировали при последовательной смене сред — CIM, содержащей 2 мг/л 2,4-Д и 0,5 мг/л зеатина [12], а также ST-1, ST-2 [13, 14] при постоянном селективном давлении (100 мг/л спектиномицина и 200 мг/л стрептомицина). Растения укореняли на среде MS без гормонов, но с добавлением тех же концентраций антибиотиков.

Для получения прямой регенерации растений из листовых пластинок сегменты листьев культивировали на среде MS с добавлением 5 мг/л кинетина (MSK).

Селекция каллусных тканей и растений. Для оптимизации условий селекции листовые пластинки культивировали на среде MSK с добавлением различных концентраций антибиотиков спектиномицина гидрохлорида и стрептомицина сульфата (от 50 до 300 мг/л среды); каллусные ткани культивировали на средах CIM, ST-1, ST-2 с добавлением тех же концентраций антибиотиков. Селективную концентрацию определяли по степени обесцвечивания и наличию/отсутствию регенерации.

Векторная ДНК. Была использована плазмида pCB033, любезно предоставленная проф. Н. Коор (Мюнхенский университет, Германия). Векторная конструкция содержала ген *aadA*, находящийся под контролем промотора 16S рДНК табака, и терминатор гена *rbcL* (большая субъединица РУБИСКО) из пластома *Clamydomonas reinhardtii*. Селективный ген flankирован участками хлоропластной ДНК, которые включали гены *rpl32* (рибосомальный белок) и *trnL* (тРНК лейцина) табачного пластома, что обеспечивает встраивание гена *aadA* в гомологичную область хлоропластного генома.

Биолистическая трансформация. Для получения транспластомных растений *S. rickii* сегменты междуузлий бомбардировали вольфрамовыми частицами 0,9–1,1 мкм, на которые предварительно наносили плазмидную ДНК. Для этого к 50 мкл суспензии частиц добавляли 10 мкл плазмидной ДНК (1 мкг/мл), 50 мкл раствора CaCl_2 (2 М), 20 мкл раствора спермидина (5 М), через 20 мин промывали 70%-ным спиртом и ресуспендировали в 50 мкл абсолютного спирта. Была использована гелиевая пушка, вакуум 0,05 атм, расстояние от сопла насадки до поверхности питательной среды 14 см, давление гелия 8 атм.

Выделение и молекулярный анализ ДНК. Тотальную растительную ДНК для проведения полимеразной цепной реакции (ПЦР) выделяли согласно протоколу [15].

Для подтверждения присутствия гена *aadA* использовали пары праймеров 5'-ATTTGCCGGTTACTGCGCTG-3' (1) и 5'-TGCTGGCCGTACATTGACG-3' (2), специфичных к внутренней части гена *aadA*. Размер амплифицированного с помощью этих праймеров продукта составлял 523 п.н. Температура отжига — 65 °C, длительность реакции синтеза фрагмента — 1 мин при 72 °C. Для определения локализации гена *aadA* использовали также праймеры 5'-GGAAGGGATTCGATCGCA-3' (3) и 5'-CGATCGAAAGGAAATGTGAC-3' (4). При этом праймер 4 специфичен к спайсерному участку, находящемуся за пределами конструкции (рис. 1).

Результаты исследований и их обсуждение. Одним из условий, необходимых для успешных работ по получению трансформированных растений, является высокая частота регенерации растений. В связи с этим был разработан протокол для индукции растений из каллусных тканей *S. rickii*. Сегменты стебля и части листьев культивировали на среде MSD в течение

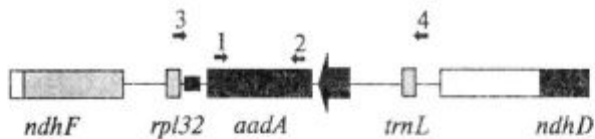


Рис. 1. Векторная конструкция, использованная для получения транспластомных растений *Solanum rickii*. Стрелками отмечено расположение праймеров 1–4

4–14 сут, затем переносили последовательно на среды CIM и ST-1. Регенерацию растений наблюдали после перенесения зеленого каллуса на среду ST-2.

Поскольку использованный нами для трансформации ген несет устойчивость к стрептомицину и спектиномицину (рис. 1), возникла необходимость в определении концентрации антибиотиков, останавливающей рост нетрансформированных культур. Для этого сегменты листьев и каллусные ткани культивировали на средах с концентрацией антибиотиков от 50 до 300 мг/л. Минимально достаточной для селекции была определена концентрация 100 мг/л спектиномицина и 200 мг/л стрептомицина при совместном введении их в культуральную среду. При таких условиях не происходило позеленение каллусных тканей, не наблюдалась регенерация растений, а все пересаженные в такие условия растения становились белыми.

Листовые сегменты и участки стебля бомбардировали вольфрамовыми частицами с нанесенной ДНК и затем культивировали на селективной среде CIM со 100 мг/л спектиномицина и 200 мг/л стрептомицина. Оба антибиотика были введены в среду одновременно для того, чтобы была возможность визуального (по зеленой окраске) отбора возможных транспластомных растений, а также с целью предотвращения появления спонтанных мутантов, так как спектиномициностойчивые мутанты как правило оказываются чувствительными к стрептомицину и наоборот [16].

Можно предположить, что клетки, которые находятся в процессе наиболее активного деления на момент биолистической трансформации, окажутся наиболее восприимчивыми для успешного внедрения чужеродной ДНК. В связи с этим в серии экспериментов были использованы сегменты междуузлий на самом начальном этапе инициации роста каллусной ткани. Для этого части стебля и листовых пластинок размером 5–10 мм помещали на среду MS с добавлением 2 мг/л 2,4-Д и 0,5 мг/л кинетина на 4 сут до начала роста каллусной ткани. Бомбардированию микрочастицами с нанесенной ДНК, имеющей гены устойчивости к стрептомицину и спектиномицину, под-

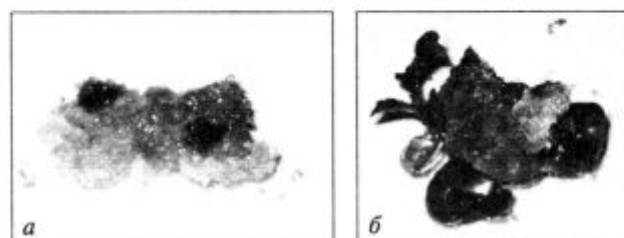


Рис. 2. Трансформированные зоны каллусной ткани на селективной среде (а) и регенерация растений из полученных клонов (б)

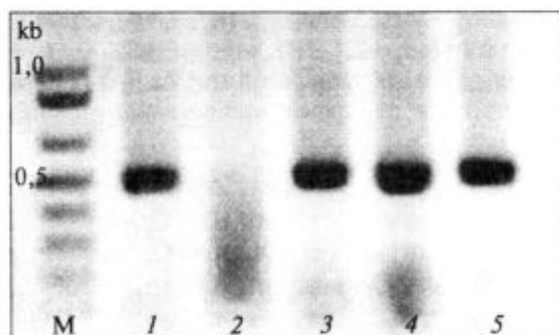


Рис. 3. Электрофорограмма результатов ПЦР-анализа суммарной ДНК трансформированных растений *S. rickii* (праймеры 1 и 2): М — маркер; 1 — плазмидная ДНК; 2 — нетрансформированное растение; 3—5 — трансформированные растения *S. rickii*

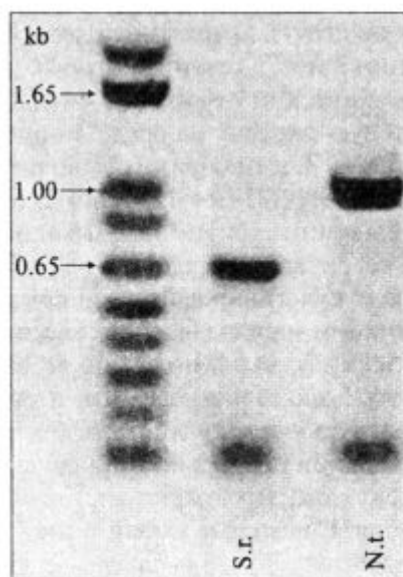


Рис. 4. Амплификация участка *rpL32-trnL* хлоропластной ДНК *S. rickii* и *N. tabacum* с помощью праймеров 5'-GGAAGGGATATTCTCGATCGCA-3' и 5'-TAA-GAGCAGCGTGTCTACCA-3'

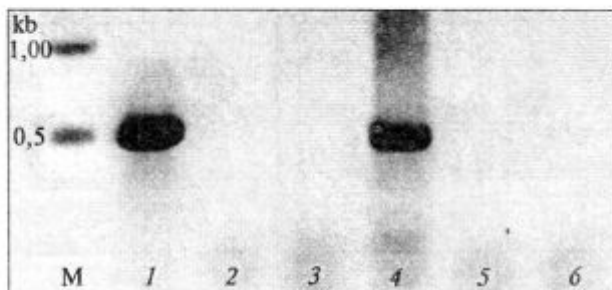


Рис. 5. Электрофорограмма результатов ПЦР-анализа двойной амплификации суммарной ДНК с использованием праймеров 3—4 и 1—2 (пояснения в тексте): М — маркер; 1 — плазмидная ДНК, праймеры 1—2; 2 — негативный контроль (-ДНК), праймеры 1—2; 3—6 — повторная амплификация праймерами 1—2 (линии 3, 5 — контроль; 4, 6 — трансформированное растение)

вергли 25 чашек с сегментами листьев и 20 чашек с сегментами стеблей (5—6 на каждой). Затем экспланты культивировали в течение 3 нед на среде СИМ с одновременным добавлением 100 мг/л спектиномицина и 200 мг/л стрептомицина, на которой наблюдался дальнейший рост каллусной ткани. После этого материал переносили на среду ST-1, сохраняя присутствие антибиотиков. Через 2 мес культивирования были выделены две зоны каллуса, имеющие слабую зеленую окраску (остальные объекты оставались светло-желтыми при выращивании на свету). Эти клонсы пассировали на протяжении 2 мес, в течение которых проводили систематический отбор зон, имеющих наиболее зеленую окраску на среде в присутствии антибиотиков. Таким образом было получено 7 подклонов — St4-1/1-St4-1/5 и St4-2/1-St4-2/2, которые были интенсивно зелеными и активно росли на селективной среде (рис. 2, а). При их дальнейшем культивировании на среде ST-2 с антибиотиками наблюдалась регенерация растений (рис. 2, б). Было получено 58 растений, из которых 5 оказались белыми, а остальные имели зеленую окраску листьев. Регенерированные растения несколько отличались по степени интенсивности окраски листовых пластинок и стебля. Некоторые имели темно-зеленый стебель и листья, другие — светло-зеленый стебель и темно-зеленые листья или белый стебель и зеленые листья.

Проведенный ПЦР-анализ клонов St4-1 и St4-2 показал наличие слабого сигнала в клоне

St4-1 и отсутствие его для St4-2. Отсутствие сигнала при анализе клона St4-2 в начале культивирования и слабая зеленая окраска клонов St4-1 и St4-2 по сравнению с субклонами после длительного выращивания на селективной среде позволяют предположить гетеропластидный характер трансформации и наличие пластид двух типов — как дикого, так и трансформированного. Длительное селективное давление привело к постепенному частичному вытеснению пластид дикого типа и функционированию трансформированных пластид, что было подтверждено ПЦР-анализом регенерированных растений (рис. 3).

В связи с тем, что для трансформации *S. rickii* была использована конструкция, которая содержит последовательности ДНК пластома табака, можно ожидать неполной гомологии этого участка хлоропластной ДНК с хлоропластной ДНК *S. rickii*. Такое предположение подтвердилось амплификацией участка *trnL-rpL32 N. tabacum* и *S. rickii* (рис. 4). Размер образующихся продуктов этой реакции не совпадает у этих двух видов. Неполная гомология участка хлДНК *N. tabacum*, использованного в конструкции, и соответствующего участка хлДНК *S. rickii*, по-видимому, может приводить к более сложной схеме встраивания нашего вектора в геном хлДНК. Мы предполагали, что встраивание происходит вблизи тех же генов хлДНК *S. rickii*, что и у хлДНК *N. tabacum*, однако само положение может быть не всегда корректным. В итоге прямое подтверждение локализации конструкции (например, с помощью праймеров 1 и 4) оказалось затруднительным.

В связи с изложенным мы использовали другой подход для доказательства включения векторной конструкции в хлДНК *S. rickii* вблизи генов *rpl32* и *trnL*. Предложенный метод состоит из двух последовательных амплификаций. На первом этапе проводили ПЦР с праймерами, специфичными для хлДНК *S. rickii* (праймеры 3 и 4). В результате происходило накопление не только продуктов этой реакции, но и прилегающих последовательностей, которые в случае трансформации могут содержать ген *aadA*. Аликвоту (1 мкл) реакционной смеси из первой ПЦР использовали для повторной ПЦР с праймерами, специфичными к гену

aadA (праймеры 1 и 2). Параллельно с этим идентичное количество исходной ДНК трансформированного растения разбавляли в объеме, равном объему реакционной смеси первой ПЦР. В дальнейшем аликвоту такого эквивалентного разбавления (1 мкл, как и в первом случае) использовали в качестве контроля для ПЦР с праймерами 1 и 2. В контрольной реакции не должно происходить образования фрагментов гена *aadA* в связи с разбавлением их до концентрации ниже детектируемого уровня.

Для определения места встраивания гена *aadA* была использована изложенная выше двойная амплификация с применением праймеров 3—4 и 1—2 (рис. 5). После первой амплификации исходной ДНК с праймерами 3 и 4 был использован 1 мкл реакционной смеси для повторной ПЦР с праймерами 1 и 2. Контролем служила аликвота (1 мкл) эквивалентного разбавления. Появление сигнала на ген *aadA* после повторной амплификации (рис. 5, линия 4) и отсутствие сигнала в контроле (рис. 5, линия 6) указывают на наличие последовательности гена *aadA* на участке хлДНК, который flankируется праймерами 3 и 4. Таким образом, можно ожидать, что интеграция гена произошла в прогнозируемом сайте хлДНК вблизи генов *rpl32* и *trnL*.

Пять полученных растений были использованы для регенерации растений второго поколения, а две линии — растений третьего поколения. Для этого был оптимизирован протокол прямой регенерации растений из листовых пластинок. Небольшие части листьев полученных трансформированных растений помещали на чашки Петри со средой MS с добавлением 5 мг/л кинетина, 50 мг/л стрептомицина и культивировали на свету в течение 1 нед, а затем переносили на ту же среду, но с увеличенным количеством антибиотиков (100 мг/л спектиномицина и 200 мг/л стрептомицина). Через 2 мес наблюдали массовую регенерацию растений, причем все они имели нормальную зеленую окраску листьев и стеблей, белые и пестролистные растения отсутствовали. В дальнейшем растения культивировали на среде MS без гормонов с антибиотиками, где они росли и укоренялись. Был проведен ПЦР-анализ полученных таким образом растений второго и третьего поколений, который показал

наличие в хлоропластах всех проверенных растений плазмидной ДНК. Таким образом, путем длительного пассирования каллусных тканей при непрерывном селективном давлении и повторного процесса регенерации растений можно в большой степени добиться вытеснения пластид дикого типа у гетеропластидных трансформированных объектов и максимального функционирования трансформированных пластид.

SUMMARY. The biolistic method was used for genetic transformation of *Solanum rickii* chloroplasts with *aadA* gene encoding resistance to streptomycine and spectinomycine. Selective pressure was applied immediately after microbombardment to avoid appearance of mutant lines. The transplastomic *Solanum rickii* plants remained green during two years cultivation on the media supplemented with two antibiotics. There were no morphological differences between the transformed and the wild type plants.

РЕЗЮМЕ. За методом біолістичної трансформації з використанням векторної конструкції, що містить ген *aadA* (стійкість до стрептоміцину і спектиноміцину), було отримано транспластомні рослини *Solanum rickii*. Селективний тиск одразу після бомбардування мікрочастками та одночасне введення двох антибіотиків — стрептоміцину і спектиноміцину в достатній концентрації дозволили провести успішну селекцію та уникнути появи спонтанних мутантів. Трансформовані рослини мали зелене забарвлення, за морфологією не відрізнялися від рослин вихідного дикого типу, нормально росли при тривалому (понад 2 років) культивуванні на середовищі з антибіотиками.

СПИСОК ЛИТЕРАТУРЫ

1. Bendich A.J. Why do chloroplasts and mitochondria contain so many copies of their genome// Bioessays. — 1987. — 6. — P. 279—282.
2. Klein T.M., Wolf E.D., Wu R., Sanford J.C. High velocity microprojectiles for delivering nucleic acids into living cells // Nature. — 1987. — 327. — P. 70—73.
3. Finer J. J., Vain P., Jones M., McMullen M. Development of the particle inflow gun for DNA delivery to plant cells // Plant Cell Rep. — 1992. — 11. — P. 323—328.
4. Vain P., Keen N., Murillo J., Rathus C., Nemes C., Finer J. Development of the particle inflow gun // Plant Cell, Tissue and Organ Culture. — 1992. — 33. — P. 237—246.
5. Svab Z., Hajdukiewicz P., Maliga P. Stable transformation of plastids in higher plants // Proc. Nat. Acad. Sci. USA. — 1990. — 87. — P. 8526—8530.
6. Sikdar S.R., Serino G., Chaudhuri S., Maliga P. Plastid

- transformation in *Arabidopsis thaliana* // Plant Cell Rep. — 1998. — **18**. — P. 20—24.
7. Sidorov V.A., Kasten D., Pang S.-Z., Hajdukiewicz P.T.J., Staub J.M., Nehra N.S. Stable chloroplast transformation in potato: use of green fluorescent protein as a plastid marker // Plant J. — 1999. — **19** (2). — P. 209—216.
8. Ruf S., Hermann M., Berger I.J., Carrer H., Bock R. Stable genetic transformation of tomato plastids and expression of a foreign protein in fruit // Nat. Biotechnol. — 2001. — **19** (9). — P. 870—875.
9. Skarjinskaja M., Svab Z., Maliga P. Plastid transformation of *L. fendleri*, an oilseed Brassicaceae // Transgenic Res. — 2003. — **12**. — P. 115—122.
10. Zubko M., Zubko E., Van Zuilen K., Meyer P., Duy A. Stable transformation of petunia plastids // Transgenic Res. — 2004. — **13**. — P. 523—530.
11. Murashige T., Skoog F. A revised medium for rapid growth and bioassay with tobacco tissue culture // Phys. Plant. — 1962. — **15**. — P. 473—497.
12. Romano A., Raemakers K., Visser R. Transformation of potato (*Solanum tuberosum*) using particle bombardment // Plant Cell Rep. — 2001. — **20**. — P. 198—204.
13. Shepard J.F., Totten R.E. Mesophyll cell protoplasts of potato // Plant Physiol. — 1977. — **60**. — P. 313—316.
14. Shepard J.F. Abscisic acid-enhanced shoot initiation in protoplast-derived calli of potato // Plant Sci. Lett. — 1980. — **18**. — P. 334.
15. Murray M.G., Thompson W.F. Rapid isolation of high molecular weight plant DNA // Nucl. Acids Res. — 1980. — **8**. — P. 4321—4325.
16. Eibl C., Zou Z.R., Beck A., Kim M., Mullet J., Koop H. In vivo analysis of plastid psbA, rbcL and rpL32 UTR elements by chloroplast transformation: tobacco plastid gene expression is controlled by modulation of transcript levels and translation efficiency // Plant J. — 1999. — **19**. — P. 333—345.

Поступила 22.04.05